

اثرات کلات آهن و نانوذرات اکسید آهن بر برخی ویژگی‌های فیزیولوژیکی گیاه یونجه (*Medicago sativa L.*)

مهری عسکری^{۱*}، فربیبا امینی^۱، سید مهدی طالبی^۱، معصومه شفیعی‌گواری^۲

۱. استادیار فیزیولوژی گیاهی، گروه زیست‌شناسی، دانشکده علوم، دانشگاه اراک.

۲. دانشجوی کارشناسی ارشد فیزیولوژی گیاهی، گروه زیست‌شناسی، دانشکده علوم، دانشگاه اراک.

تاریخ دریافت: ۹۵/۱۰/۲۷؛ تاریخ پذیرش: ۹۶/۰۴/۲۶

چکیده

آهن یک عنصر کم‌صرف مغذی و ضروری برای رشد گیاهان نقش مهمی را ایفا می‌کند. به منظور بررسی اثرات کمبود آهن و سطوح مختلف نانوذرات اکسید آهن (۰، ۵، ۱۰، ۲۰ و ۲۵ میکرومولار) در مقایسه با کلات آهن بر رشد برگ، رنگیزهای فتوستنتزی و فعالیت آنتی‌اکسیدانی گیاه یونجه رقم همدانی، آزمایشی بر پایه طرح کاملاً تصادفی در سه تکرار در دانشگاه اراک سال ۱۳۹۴ انجام شد. تیمار آهن بر پارامترهای رشد و رنگیزهای فتوستنتزی اثر مثبت داشت. بیشترین و کمترین مقدار رشد برگ و رنگیزهای فتوستنتزی به ترتیب در سطح ۲۵ و صفر میکرومولار نانوذرات اکسید آهن به دست آمد. تیمار نانو کود آهن در غلظت‌های مختلف، حتی غلظت ۵ میکرومولا، سبب افزایش معنی‌دار رشد برگ و مقادیر رنگیزهای فتوستنتزی در مقایسه با کلات آهن شد. بیشترین مقدار آنتی‌اکسیدان‌ها و پرولین در غلظت صفر میکرومولا نانوذرات اکسید آهن اندازه‌گیری شد؛ بنابراین غلظت صفر آهن برای گیاه یونجه تنش محسوب می‌شود. هیچ اختلاف معنی‌داری بین سطوح مختلف نانوذرات اکسید آهن و کلات آهن بر اساس مقادیر پرولین و فعالیت آنتی‌اکسیدان‌ها وجود نداشت؛ بنابراین نوع مناسب کود آهن برای گیاه یونجه نانو کود آهن است و غلظت ۲۵ میکرومولا نانوذرات اکسید آهن مقدار مطلوب و بهینه است.

واژه‌های کلیدی: پرولین، رنگیزهای فتوستنتزی، فعالیت آنتی‌اکسیدان‌ها، کمبود آهن، نانو کود.

مقدمه

بیش از حد متراکم شود می‌تواند باعث آسیب سلولی گردد. از طرفی به مقدار خیلی کم در آب محلول است، به‌ویژه در محیط‌هایی که خوب هوادهی شوند. در این محیط‌ها تولید هیدروکسیدهای آهن و دیگر نمک‌های آهن دار را می‌دهد که حلالیت آهن را کمتر می‌کند؛ بنابراین باوجودی که بیشتر خاک‌ها آهن دارند ولی آهن در دسترس گیاه قرار نمی‌گیرد و کمبود آهن در گیاهان ایجاد می‌شود. از طرفی تجمع و انباست زیاد آهن نیز ایجاد تنش اکسیداتیو می‌کند؛ بنابراین سیستم‌های جذب آهن بایستی طوری تنظیم شوند تا هموستازی آهن برقرار باشد. هموستازی آهن یعنی امکان تنظیم سیستم‌های ورود آهن به درون گیاهان، زمانی که

یونجه (*Medicago sativa*) از مهم‌ترین محصولات علوفه‌ای تیره لگوم است که دارای محصول بالا، توانایی تشبیت نیتروژن و حجم بالای پروتئین است. به دلیل سیستم ریشه‌ای عمیق و گسترده، فرسایش خاک را کاهش و نفوذ آب در زمین‌های کشاورزی را بهبود می‌دهد (Delic et al., 2013).

گیاهان در بین همه‌ی ریز‌مغذی‌ها، بیشترین نیاز را به آهن دارند. کلروپلاست‌ها مهم‌ترین حفره‌های جذب آهن هستند. آن‌ها برای انجام فرآیندهای سوخت‌وساز مانند فتوستنتز، انتقال الکترون، سنتز ریستی کلروفیل و سنتز ترکیبات آهن-گوگردار به آهن نیاز دارند. آهن دارای دو ویژگی شیمیایی متمایز است: بسیار واکنش‌پذیر است و اگر

آزمایش بررسی تأثیر دو نوع مختلف تیمار آهن (کلات آهن و سطوح مختلف نانوذرات اکسید آهن) بر رشد، مقدار رنگیزه‌های فتوسنتزی و فعالیت آنتیاکسیدانی گیاه یونجه به منظور تعیین نوع مؤثرتر کود آهن و همچنین تعیین غلظت مطلوب و بهینه نانو کود آهن برای گیاه یونجه است.

مواد و روش‌ها

این آزمایش در سال ۱۳۹۴ در آزمایشگاه علوم پایه دانشگاه اراک بر پایه طرح کاملاً تصادفی در سه تکرار اجرا شد. بذر گیاه یونجه اکوتیپ همدانی (*Medicago sativa* cv.) (Hamedani) از مرکز تحقیقات سازمان جهاد کشاورزی شهر اراک تهیه شد. به منظور کشت این بذرها ابتدا ضعفونی سطحی و سپس ۵ بار با آب مقطر شست و شو داده شدند (Wang and Oyaizu, 2009) از شرکت پیشگامان نانو مواد مشهد تهیه شد. برای آماده نمودن نانوذرات اکسید آهن هر بار ۰/۱۶ گرم از این ماده را با آب مقطر دو بار تقطیر در بالن ژوژه به حجم ۱۰۰ میلی‌لیتر رسانده شد. مخلوط حاصل به مدت نیم ساعت در دستگاه اولتراسونیک با توان ۱۰۰ W و فرکانس ۴۰ kHz قرار داده شد (اولتراسونیک نانو مواد را پخش می‌کند). سپس به منظور حل کردن نانوذرات داخل آن مگنت قرار داده و به مدت ۴ ساعت روی شیکر گذاشته تا نانو مواد دوباره به هم نچسبد. در استفاده از نانوذرات بایستی توجه شود که در همه مراحل مخلوط به شکل سوسپانسیون باشد (Prasad et al., 2012). بذرهای یونجه بر روی کاغذ صافی مرطوب درون پتربیش‌های جداگانه به مدت ۲۴ ساعت در تاریکی در ۲۵ درجه سانتی‌گراد جهت جوانه‌زنی قرار گرفتند. سپس گیاهک‌های یکروزه به گلدان‌هایی با ابعاد 12×14 سانتی‌متر حاوی پرلیت منتقل شدند. در هر گلدان ۱۵ گیاهک قرار گرفت. گلдан‌ها در اتاق رشد با شرایط کنترل شده دوره نوری فتوپریود ۱۲ ساعت نور و ۱۲ ساعت تاریکی با درجه حرارت ۲۵ و ۱۸ درجه سانتی‌گراد به هنگام روز و شب قرار گرفتند. آبیاری هر هفته با ۱۰۰ میلی‌لیتر محلول هوگلندر کامل (حاوی کلات آهن) (Hoagland and Arnon, 1950) و محیط هوگلندر فاقد کلات آهن و محتوى سطوح مختلف نانوذرات اکسید آهن (صفر، ۵، ۱۰، ۲۰ و ۲۵ میکرومولار) به مدت ۴۵ روز انجام شد (Dokhe et al., 2013). شاهد (صفر نانو) هیچ آهنی در کل دوره دریافت نکرد.

سیستم‌های خروج آهن و مکانیسم‌های مربوطه آسیب‌دیده است. فراوانی آهن در بافت‌های گیاهی با بالا رفتن واکنش‌های فنتون که منجر به تولید مقادیر بالایی از رادیکال آزاد سمی هیدروکسیل و دیگر اشکال اکسیژن آزاد می‌شود، همراه است (Vigani, 2012). علائم مشخص سمتی آهن با فرآیندهای تولید رادیکال‌های آزاد، اکسید شدن کلروفیل و به خصوص تجمع پلی‌فنول‌های اکسیدشده مرتبط است. برای کاهش سمتی فلز در گیاهان، سیستم‌های دفاع آنتی‌اکسیدانی آنزیمی و غیر آنزیمی به عنوان مکانیسم تحمل بررسی می‌شوند (Apel and Hirt, 2004).

یکی از مهم‌ترین کاربردهای فناوری نانو، استفاده از نانو کودها جهت تغذیه گیاهان است. نانو کودها با رهاسازی تدریجی و آرام عناصر غذایی بهترین جایگزین برای کودهای مرسوم هستند. با بهره‌گیری از نانو کودها، عناصر غذایی به‌آرامی و با سرعتی مناسب در تمام فصل رشد گیاه آزاد می‌شود و به دلیل کاهش آبسوبی، گیاهان قادر به جذب بیشتر عناصر خواهند بود و آلودگی‌های زیست‌محیطی کاهش می‌یابد (Chinnamuthu and Boopathi, 2009). از طرفی در نانو کود آهن نسبت آهن Fe^{3+} به آهن Fe^{2+} افزایش یافته که از نتایج آن می‌توان به افزایش سنتر کلروفیل اشاره کرد (Roosta et al., 2015). همچنین نانوذرات اکسید آهن در محدوده $\text{pH} < 11$ در آب محلول هستند. مقدار مناسب نانو کودها که بایستی به خاک افزوده گردد به گونه گیاهی، بافت خاک، مقدار مواد آلی خاک و آهکی بودن خاک بستگی دارد (Mazaherinia et al., 2010). تأثیر مثبت مواد غذایی نانو بر رشد بادام‌زمینی (Prasad et al., 2012) و ریحان (Peyvandi et al., 2011) گزارش شده است. نتایج حاصل از مطالعه انجام‌شده روی گیاه *Ocimum basilicum* که در معرض غلظت‌های مختلفی از کود کلات آهن (۱/۵، ۴/۵ و ۷/۵ Kg.ha^{-۱}) و نانو کود کلات آهن (۱، ۳ و ۵ Kg.ha^{-۱}) قرار گرفت نشان داد که فعالیت آنزیم‌های آنتی‌اکسیدان از جمله کاتالاز و پر اکسیداز در گیاهانی که تحت تیمار نانو کود آهن قرار گرفتند در مقایسه با شاهد و گیاهان تحت تیمار غلظت‌های مختلف کود آهن کاهش معنی‌داری را نشان داد (Peyvandi et al., 2011). در آزمایشی گلخانه‌ای، کاربرد پودر نانو اکسید آهن نسبت به اکسید آهن معمولی افزایش معنی‌دار غلظت آهن گیاه، طول سنبله، ارتفاع گیاه، وزن دانه در سنبله، وزن خشک کل، وزن هزار دانه و وزن دانه گندم داشته است (Mazaherinia et al., 2010). هدف از این

مطابق جدول ۳ کمترین و بیشترین وزن تر و خشک برگ به ترتیب در گیاهان شاهد (صفر آهن) و گیاهان تحت تیمار ۲۵ میکرومولار نانوذرات اکسید آهن مشاهده می‌شود. کلات آهن و سطوح مختلف، ۵، ۱۰ و ۲۵ میکرومولار نانوذرات اکسید آهن سبب افزایش ۱/۵۹، ۲/۱۷، ۲/۴۷ و ۳/۰۶ و ۳/۳۵ برابری وزن تر برگ نسبت به شاهد شد. افزایش وزن خشک برگ در تیمارهای فوق به ترتیب ۱/۶۳، ۲/۳۱، ۲/۵ و ۳/۱۳ برابر وزن خشک شاهد اندازه‌گیری شد. افزایش ۳/۴۴ شاخص‌های وزنی فوق نسبت به شاهد حتی در حضور ۵ میکرومولار نانوذرات آهن بیش از کلات آهن است. مشابه این نتایج در گیاه خیار (Pii et al., 2015) گزارش شده است. آهن یک عنصر ضروری برای رشد گیاهان است. آهن برای عملکرد مناسب اغلب فرآیندهای متابولیک و آنزیماتیک مربوط به انتقال الکترون، ثابتی نیتروژن، سنتز DNA، سنتز هورمون و دیگر فرآیندها ضروری است؛ بنابراین نقش مهمی را در متابولیسم گیاهی بازی می‌کند (Mohamadipoor et al., 2013). از جمله این نقش‌ها می‌توان به انتقال انرژی، شرکت در تنفس نوری، سنتز کلروپلاست (Mazlomi et al., 2012)، ثابتی نیتروژن و سنتز پروتئین (Gohari and Niyaki, 2010) اشاره کرد. کمبود این عنصر ضروری، رشد و تولیدات گیاهان را محدود می‌کند (Vigani, 2012). کمبود آهن در خاک‌های آهکی که شامل یک‌سوم کشتزارها است به کاهش معنی‌دار رشد و محصول گیاهان زراعی منجر می‌شود. کاهش ۲۰٪ محصول بادامزیمنی رشد یافته در خاک‌های آهکی گزارش شده است. این کاهش در برخی گیاهان زراعی مثل گندمیان، لگوم‌ها، سیزی‌ها و درختان میوه می‌تواند از ۲۵٪ هم تجاوز کند (Briat et al., 2015).

با به کارگیری نانوکودها بهعنوان جایگزین کودهای مرسوم، عناصر غذایی کود به تدریج و به صورت کنترل شده در خاک آزاد می‌شود. استفاده از نانو کودها منجر به افزایش کارایی مصرف عناصر غذایی، کاهش سمیت خاک، به حداقل رسیدن اثرات منفی ناشی از مصرف بیش از حد کود و کاهش تعداد دفعات کاربرد کود می‌شود (Naderi and Abedi, 2012). در مطالعه گیاه ذرت مشخص شد که کود عناصر کم‌صرف از جمله آهن بیشتر در فعالیتهای متابولیکی تأثیرگذار بوده و به طور غیرمستقیم با افزایش سرعت رشد گیاه، سطح جذب، دوام برگ و فتوسنتر باعث افزایش وزن خشک گیاه می‌شود (Sajedi and Ardakani, 2008).

در روز برداشت (روز ۴۵ آم) وزن تر برگ سه گیاه از هر تیمار اندازه‌گیری شد. وزن خشک برگ همان گیاهان با قرار گرفتن به مدت ۲۴ ساعت در آون ۷۵ درجه سانتی‌گراد تا رسیدن به وزن ثابت اندازه‌گیری شد. کلروفیل‌ها به روش آرنون (Arnon, 1994) و کارتنتوئیدها به روش لیچتنهالر و ولبورن (Lichtenthaler and Wellburn, 1983) اندازه‌گیری شدند. میزان کلروفیل‌ها و کارتنتوئیدها بر حسب میلی‌گرم بر گرم وزن تر برگ محاسبه گردید. جهت اندازه‌گیری پرولین از روش بتس و همکاران (Bates et al., 1973) استفاده گردید.

مقدار کمی آنتی‌اکسیدان‌های کل یعنی I% با آزمون درصد بازدارندگی رادیکال آزاد ۱۰۱/۰ دی‌فنیل-۲-پیکریل هیدرازیل (DPPH) اندازه‌گیری شد. در این روش از ترکیب رادیکالی پایدار DPPH به عنوان معرف استفاده شد. الکترون تک در رادیکال آزاد DPPH یک ماکریم مجبوب قوی در nm ۵۱۷ دارد و رنگ آن بنفش است. زمانی که الکترون تک رادیکال DPPH با یک هیدروژن از یک ترکیب آنتی‌اکسیدان واکنش می‌دهد و فرم احیای DPPH-H را تشکیل می‌دهد، رنگ بنفش به رنگ زرد تبدیل می‌شود. از بی‌رنگ شدن رنگ بنفش جهت سنجش مقدار کل آنتی‌اکسیدان‌های یک عصاره استفاده می‌شود (Abe et al., 1998). به منظور تعیین فعالیت آنتی‌اکسیدان‌های آنزیمی ابتدا عصاره آنزیمی توسط روش ژیانوپولیتیس و رایس (Giannopolitis and Ries, 1977) تهیه شد و از این عصاره آنزیمی جهت تعیین میزان فعالیت آنتی‌اکسیدان‌های سوپراکسید دیسموتاز (SOD; Giannoplitis and Ries, 1977)، کاتالاز (CAT; Cakmak and Marschner, 1992) و گایاکول پراکسیداز (GPOX; Polle et al., 1994) استفاده شد.

تجزیه و تحلیل داده‌ها با نرم‌افزار SPSS16 مقایسه میانگین‌ها بر اساس آزمون دانکن و رسم نمودارها با Excel انجام گرفت.

نتایج و بحث

نتایج آنالیز واریانس اثر معنی‌دار تیمار آهن بر وزن تر و خشک برگ، رنگیزه‌های فتوسنتری، میزان پرولین (سطح ۰/۰۱) و کمیت آنتی‌اکسیدان‌های کل I% (درصد بازدارندگی رادیکال آزاد (DPPH) و فعالیت آنتی‌اکسیدان‌های SOD، CAT و GPOX (سطح ۰/۰۵) را نشان می‌دهد (جداول ۱ و ۲).

جدول ۱. نتایج آنالیز واریانس تیمار آهن بر وزن تر و خشک برگ و رنگیزهای فتوسنتزی گیاه یونجه.

Table 1.ANOVA results of iron treatment on leaf fresh and dry weight and photosynthesis pigments in alfalfa.

منابع تغییر Source of variation	درجه آزادی df	میانگین مربعات Mean Squares						کارتنوئید Carotenoid
		Leaf weight		کلروفیل Chlorophyll			Total	
		Fresh	Dry	a	b			
Iron treatment	تیمار آهن	5	0.066**	0.001**	7.77**	4.69**	24.45**	4.101**
Error	خطا	12	0.4×10 ⁻³	1.5×10 ⁻⁵	0.018	0.018	0.045	0.026
CV%	ضریب تغییرات		5.16	10.24	2.53	5.53	2.74	7.42

* و ** به ترتیب عدم معنی دار، و معنی دار در سطح احتمال ۵ و ۱ درصد ns, * and ** non-significant, significant at probability levels of 5% and 1%, respectively.

جدول ۲. نتایج آنالیز واریانس تیمار آهن بر میزان پرولین، کمیت آنتی اکسیدان های کل ۱٪ و فعالیت آنتی اکسیدانی سوپراکسید دیسموتاز، گایاکول پراکسیداز و کاتالاز گیاه یونجه.

Table 2.ANOVA results of iron treatment on proline, superoxide dismutase(SOD), guaiacol peroxidase (GPOX), catalase (CAT) and percent of inhibition of DPPH radical(I%) in alfalfa.

منابع تغییر Source of variation	درجه آزادی df	میانگین مربعات Mean Squares						کاتالاز CAT	٪ I/ %		
		SOD			گایاکول پراکسیداز GPOX	کاتالاز CAT					
		پرولین Prolin	سوپراکسید دیسموتاز								
Iron treatment	تیمار آهن	5	0.001**	7.00*	3.928*	1.647*	13.38*				
Error	خطا	12	8.2×10 ⁻⁶	1.75	1.25	0.504	3.34				
CV%	ضریب تغییرات		23.11	4.4	12.62	42	15				

* و ** به ترتیب عدم معنی دار، و معنی دار در سطح احتمال ۵ و ۱ درصد ns, * and ** non-significant, significant at probability levels of 5% and 1%, respectively.

جدول ۳. مقایسه میانگین اثر سطوح مختلف آهن (کلات آهن Fe-EDTA، ۰، ۵، ۱۰، ۲۰ و ۲۵ میکرومولار نانوذرات اکسید آهن) بر وزن تر برگ و وزن خشک برگ (گرم) گیاه ۴۵ روزه یونجه. حروف مشابه نشان دهنده عدم اختلاف معنی دار بین میانگین ها مطابق آزمون دانکن است. هر داده میانگین سه تکرار SE ± است.

Table 3. Mean comparison of effects of iron treatment (Fe-EDTA, 0, 5, 10, 20 and 25 µM Fe₂O₃ nanoparticles) on leaf fresh weight (LFW) and leaf dry weight (LDW) of alfalfa (45 days). Similar letters mean non-significant based on Duncans test. Each data are the means of 3 replicate ± SE.

شاخص Index	Fe-EDTA	تیمار آهن					Fe-treatment	
		Fe ₂ O ₃ nanoparticles						
		0µm	5 µm	10 µm	20 µm	25 µm		
LFW (g)	وزن تر برگ	0.27 ^e ± 0.01	0.17 ^f ± 0.06	0.37 ^d ± 0.01	0.42 ^c ± 0.01	0.52 ^b ± 0.05	0.57 ^a ± 0.01	
LDW (g)	وزن خشک برگ	0.026 ^d ± 0.002	0.016 ^e ± 0.005	0.037 ^c ± 0.001	0.043 ^b ± 0.001	0.05 ^a ± 0.003	0.055 ^a ± 0.002	

دهد. کمترین و بیشترین شاخص های فوق به ترتیب در شاهد و غلظت ۲۵ میکرومولار نانوذرات اکسید آهن مشاهده شد. کلروفیل a در سطوح کلات آهن، ۵، ۱۰، ۲۰ و ۲۵ میکرومولار

مطابق شکل (۱) با افزایش سطح آهن میزان کلروفیل a، کلروفیل b، کلروفیل کل و کارتنوئیدهای گیاهان یونجه نسبت به شاهد (صفر آهن) افزایش معنی داری را نشان می

است که جایگزینی کود آهن تهیه شده با فناوری نانو در مقایسه با کودهای آهن رایج در غلظت مناسب یا حتی کمتر Bakhtiari et al., 2015) می‌تواند سبب افزایش رشد گیاه ریحان شود (Ranjbar and Shams, 2009). از نظر محققین استفاده از نانوذرات اکسید آهن در گیاهان کارآمدتر از کودهای معمولی است. احتمالاً خصوصیات ذرات نانو، حلالیت بیشتر ذرات نانو و سطح تماس بیشتر ذرات نانو با ریشه گیاهان علت این امر است (Armin et al., 2014).

بیشترین مقدار پرولین در گیاهان تحت غلظت صفر میکرومولار نانوذرات اکسید آهن (گیاهان شاهد) مشاهده شد. با کاربرد آهن مقدار پرولین نسبت به شاهد کاهش معنی‌داری را نشان می‌دهد به طوری که در حضور کلات آهن، ۵٪، ۱۰٪، ۲۰٪ و ۲۵٪ میکرومولار نانوذرات اکسید آهن مقدار پرولین نسبت به شاهد کاهش ۸۵/۳۶٪، ۸۲/۶۸٪، ۸۴/۶۳٪ و ۸۴/۱۴٪ را نشان می‌دهد. بین سطوح مختلف نانوذرات اکسید آهن و کلات آهن در خصوص مقدار پرولین تغییر معنی‌داری مشاهده نمی‌شود (شکل ۱).

نقش‌های فیزیولوژیکی متعددی برای تجمع پرولین به هنگام تنفس ارائه شده است. پرولین نقش کلیدی در تنظیم اسمزی و حفاظت غشای سلولی و آنزیم‌های سیتوپلاسمی دارد. پرولین از طریق جذب رادیکال‌های آزاد نقش خود را ایفا می‌کند (Bybordi, 2012). بدین ترتیب می‌تواند سبب مقاومت گیاه به تنفس‌ها شود (Vendruscolo et al., 2007). پرولین در آب حلایت بالایی دارد و در غلظت‌های بالا، اختلالی در فعل و افعالات مربوط به ماکرومولکول‌های محلول ایجاد نمی‌کند (Ashraf and Foolad, 2007). پرولین از دو ماده گلوتامات و اورنیتین تولید می‌شود. افزایش تولید پرولین نوعی راهبرد تنظیم اسمزی است که می‌تواند منجر به کاهش رشد گیاه شود (Mirza Masoumzadeh et al., 2012).

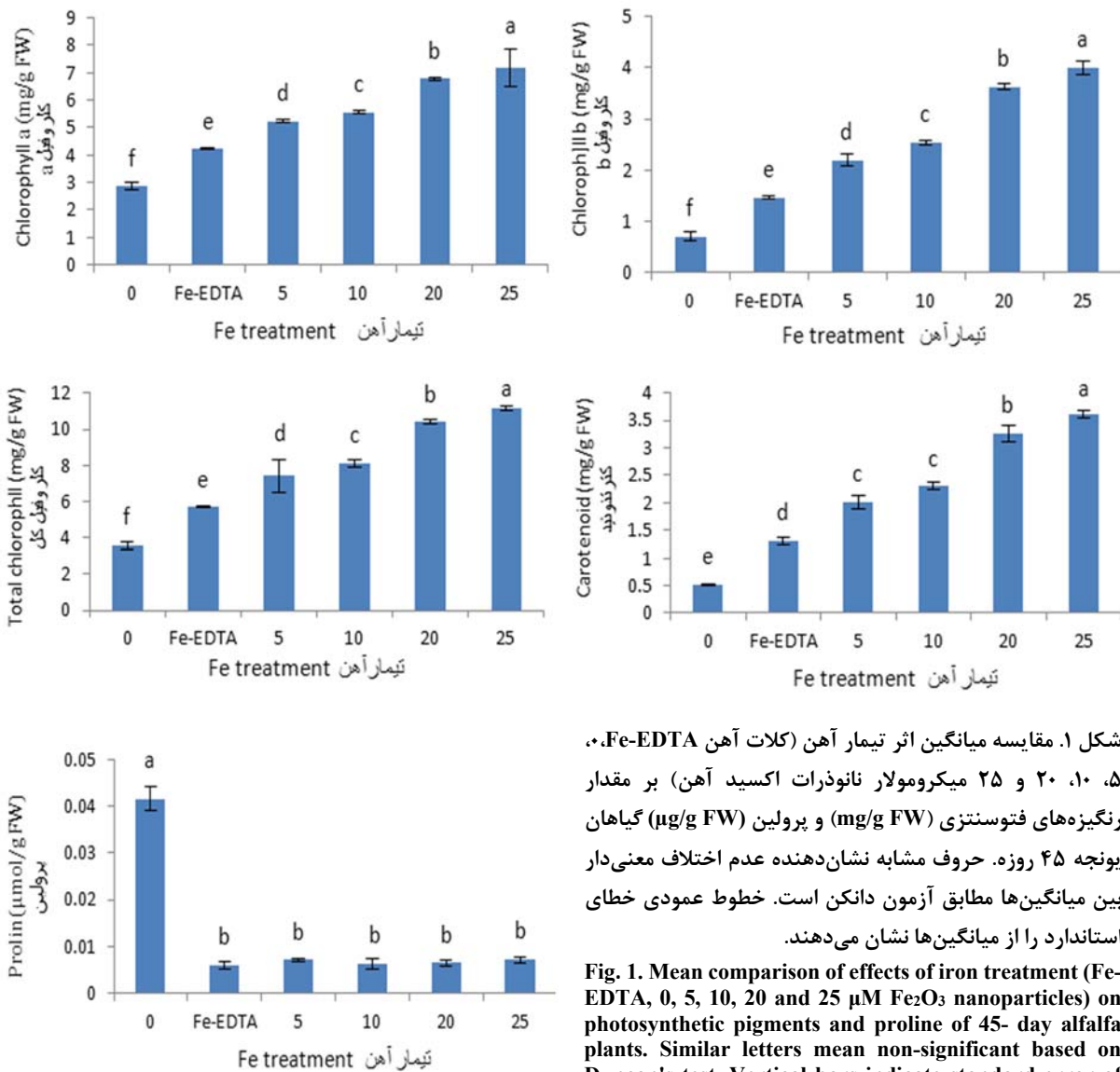
در گیاهان تحت غلظت صفر میکرومولار نانوذرات اکسید آهن افزایش معنی‌دار میزان پرولین نسبت به گیاهان تحت غلظت‌های مختلف آهن (کلات آهن یا نانوذرات) مشاهده شد. از آنجاکه در اکثر گیاهان میزان پرولین طی تنفس‌های زیستی و غیر زیستی افزایش می‌یابد (Tan et al., 2008)، پس فقدان آهن برای گیاه یک تنفس محسوب می‌شود و هیچ یک از غلظت‌های نانوذرات اکسید آهن بکار رفته در این تحقیق برای گیاه یونجه تنفس نبوده است. در مطالعه ۵۱ واریته برنج

نانوذرات اکسید آهن به ترتیب افزایش ۱/۴۷، ۱/۸۳، ۱/۹۵ و ۲/۳۷ ۲/۵۱ برابری نسبت به شاهد نشان داد. کلروفیل b در همان تیمارها به ترتیب افزایش ۵/۰۹، ۳/۵۸، ۳/۰۹، ۲/۰۷ و ۳/۱۳ برابر شد. همچنین در مورد کارتوئیدها هم در سطوح کلات آهن، ۵٪، ۱۰٪، ۲۰٪ و ۲۵٪ میکرومولار نانوذرات آهن افزایش ۴/۴۲، ۳/۸۸، ۲/۵ و ۶/۹۶ برابری نسبت به شاهد مشاهده شد. این افزایش رنگیزه‌ها حتی در حضور ۵ میکرومولار نانوذرات اکسید آهن بیش از کلات آهن است. همچنین افزایش کارتوئیدها در تمامی تیمارها بیش از کلروفیل‌ها است.

کمبود یا فعالیت کم آهن در گیاه باعث می‌شود که کلروفیل در مقادیر کافی تولید نشود و برگ‌ها رنگ پریده شوند (Mohamadipoor et al., 2013). کاهش کلروفیل منجر به کاهش فتوسنترز می‌شود. بدون کلروفیل کافی، برگ‌ها قادر به تولید ترکیبات فتوسنترزی موردنیاز برای رشد و نمو نیستند. این امر موجب کاهش رشد می‌شود. در بعضی موارد کاهش فتوسنترز ناشی از کاهش کلروفیل سبب بازدارندگی کامل از تشکیل برگ‌های جدید و درنتیجه کاهش محصول گیاه می‌شود (Mohamadipoor et al., 2013). آهن در فرآیندهای اکسیداسیون و احیا نقش دارد و با تغییر ظرفیت سبب انتقال الکترون می‌شود که این نقش در متابولیسم گیاهی بسیار مهم است. وجود آهن در سنتز پروتئین‌های است و از آنجایی که نقش عمدۀ آهن در سنتز کلروپلاست و میزان همراه کلروفیل است کمبود آن ساختار کلروپلاست و میزان فتوسنترز را کاهش می‌دهد (Briat et al., 2015). که به همین علت رنگ زرد ناشی از کمبود آهن (کلروز) رخ می‌دهد. راندمان فتوسنترز و ساختار و عملکرد دستگاه فتوسنترزی بهشتی به آهن وابسته است. اگر آهن به مقدار کافی و قابل جذب، در دسترس گیاه نباشد تولید کلروفیل در برگ کاهش می‌یابد. آهن در ساختمان سیتوکروم به عنوان ناقل الکترون در سیستم‌های فتوسنترزی برای تنفس و عملیات اکسیداسیون و احیا و ساخت کلروفیل دخالت دارد. کلروپلاست‌ها حاوی ترکیبات متعدد حاوی آهن هستند، پروتئین‌هایی شامل ترکیبات همی مانند سیتوکروم‌ها، P450، پروتئین‌های حاوی آهن (2Fe-2S) (Briat et al., 2015). این ترکیبات در چرخه انتقال الکترون دستگاه فتوسنترزی و واکنش‌های ردوکس شرکت دارند (آزمایش‌ها نشان داده

مقدار کل پرولین و فنول در کمبود آهن افزایش معنی داری را نشان داد (Rout et al., 2014).

تحت غلظت های مختلف آهن، اثر سمیت آهن بررسی شد و ارقام مقاوم و حساس مشخص شدند. نتایج نشان داد که ۲۴ رقم برج موربرسی حساس بودند و در این ارقام حساس



شکل ۱. مقایسه میانگین اثر تیمار آهن (کلات آهن ۰، ۵، ۱۰، ۲۰ و ۲۵ میکرومولار نانوذرات اکسید آهن) بر مقدار رنگیزه های فتوسنتزی (mg/g FW) و پرولین (μg/g FW) (گیاهان ۴۵ روزه). حروف مشابه نشان دهنده عدم اختلاف معنی دار بین میانگین ها مطابق آزمون دانکن است. خطوط عمودی خطای استاندارد را از میانگین ها نشان می دهد.

Fig. 1. Mean comparison of effects of iron treatment (Fe-EDTA, 0, 5, 10, 20 and 25 μM Fe_2O_3 nanoparticles) on photosynthetic pigments and proline of 45-day alfalfa plants. Similar letters mean non-significant based on Duncan's test. Vertical bars indicate standard error of the means (SE).

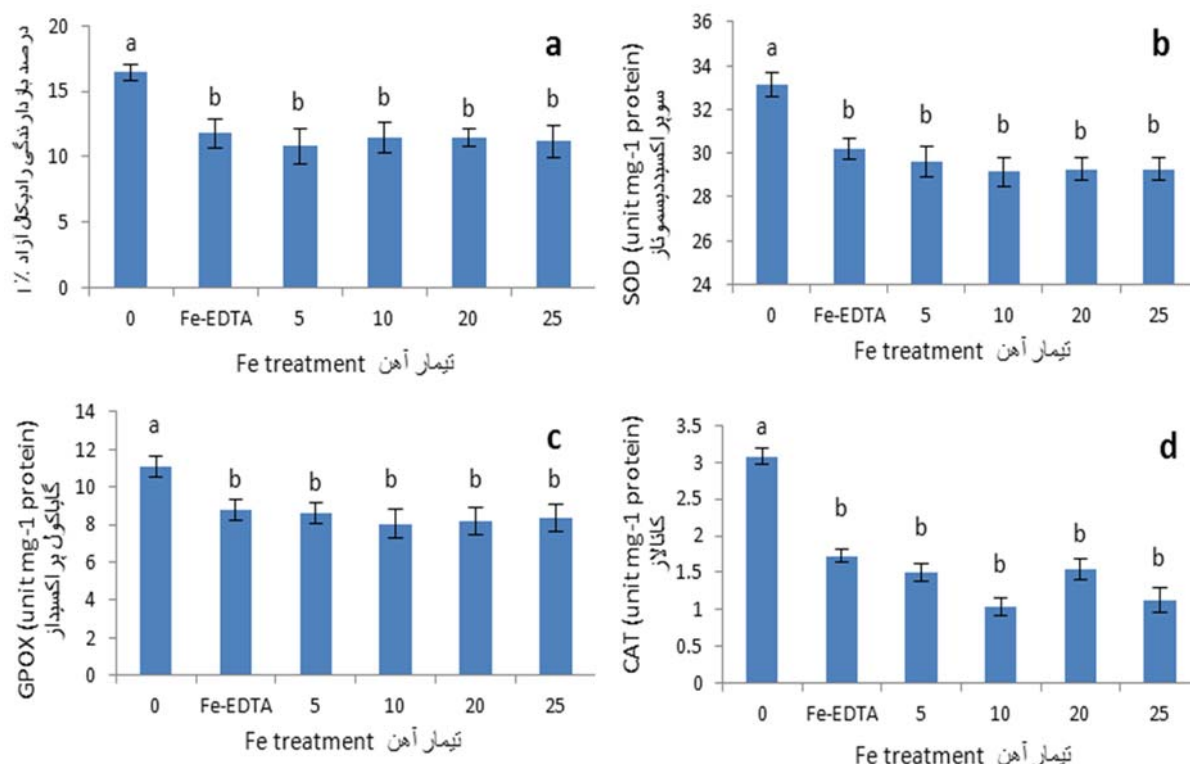
سطوح مختلف آهن اختلاف معنی داری مشاهده نمی شود (شکل ۲).

بیشترین میزان فعالیت آنزیم سوپراکسید دیسموتاز (SOD mg^{-1} protein) $33/12$ unit و کاتالاز (CAT mg^{-1} protein) $11/12$ unit در گیاهان شاهد (صفر آهن) مشاهده شد. در حضور آهن فرم کلات آهن یا نانوذرات اکسید آهن (توانایی مهار رادیکال آزاد DPPH) نسبت به شاهد کاهش معنی داری پیدا کرد.

بیشترین کاهش DPPH آزاد در تیمار ۵ میکرومولار نانوذرات اکسید آهن با $34/42$ درصد کاهش نسبت به شاهد مشاهده شد. بین

و ۵ میکرومولار نانوذرات اکسید آهن به ترتیب ۱۵٪/۴۴ و ۲۹٪/۵۱ کاهش را نسبت به شاهد نشان می دهد. در گیاهان تحت غلظت های مختلف نانوذرات اکسید آهن و کلات آهن تغییر معنی داری در فعالیت SOD، GPOX و CAT نسبت به گیاهان شاهد (صفر آهن) مشاهده نمی شود.

(شکل ۲). با کاربرد تنها ۵ میکرومولار نانوذرات اکسید آهن فعالیت آنزیم SOD در گیاه یونجه نسبت به شاهد کاهش ۵۳٪/۱۰ درصدی را نشان می دهد. کلات آهن و غلظت ۵ میکرومولار نانوذرات اکسید آهن میزان فعالیت آنزیم GPOX را به ترتیب ۹۷٪/۲۰ و ۵۰٪/۲۲ نسبت به شاهد کاهش دادند. میزان فعالیت آنزیم CAT با کاربرد کلات آهن



شکل ۲. مقایسه میانگین اثر تیمار آهن (کلات آهن Fe-EDTA، صفر، ۵، ۱۰، ۲۰ و ۲۵ میکرومولار نانوذرات اکسید آهن) بر (a) درصد بازدارندگی رادیکال آزاد DPPH (٪/I)، فعالیت آنزیمی (b) سوبراکسید دیسموتاز (SOD)، (c) گایاکول پراکسیداز (GPOX) و (d) کاتالاز (CAT) گیاهان یونجه ۴۵ روزه. حروف مشابه نشان دهنده عدم اختلاف معنی دار بین میانگین ها مطابق آزمون دانکن است. خطوط عمودی خطای استاندارد SE را از میانگین ها نشان می دهد

Fig. 2. Mean comparison of effects of iron treatment (Fe-EDTA, 0, 5, 10, 20 and 25 μM Fe_2O_3 nanoparticles) on I% (a), SOD (b), GPOX (c) and CAT (d) of 45- day alfalfa plants. Similar letters mean non-significant based on Duncan's test. Vertical bars indicate standard error of the means (SE).

ابزاری جهت مقابله با تنفس، تحمل تنفس و سازش به شرایط تنفسی محیط و بنابراین بقاء گیاه در برابر تنفس است (Vasconsuelo and Boland, 2007). متابولیت های ثانویه نقش اصلی را در سازش گیاهان به تغییرات محیطی و تنفس ها فراهم می کنند. سیستم دفاعی گیاهان در برابر ROS ها، تولید انواع آنتی اکسیدانت ها است (Kosovaa et al., 2011).

تحت شرایط نامساعد محیطی و تنفس های مختلف، میزان تولید گونه های فعال و واکنش گر اکسیژن ROS افزایش می یابد. ROS ها با تخریب نوکلئیک اسیدها، اکسیداسیون پروتئین ها و پراکسیداسیون لیپیدها، روی بسیاری از جنبه های عملکردی سلول ها اثر می گذارند (Foyer and Noctor, 2005). گیاهان در مقابل تنفس های محیطی سازو کارهای متعدد دفاعی دارند. تولید انواع مختلف متابولیت های ثانویه

های مختلف کود آهن کاهش معنی‌داری را نشان داد (Peyvandi et al., 2011).

نتیجه‌گیری

فقدان عنصر ضروری آهن (صفر میکرومولار نانوذرات اکسید آهن) به عنوان یک تنش غیر زیستی بر کل فرآیندهای رشدی گیاه یونجه اثر منفی گذاشته است. کمترین مقدار رنگیزه‌های فتوستنتزی و درنتیجه کاهش فتوستنتز و رشد در غلظت صفر میکرومولار نانوذرات اکسید آهن مشاهده شد. غلظت ۲۵ میکرومولار نانوذرات اکسید آهن با بیشترین درصد افزایش شاخص‌های رشدی نسبت به شاهد، غلظت مطلوب و بهینه نانوذرات اکسید آهن برای یونجه در نظر گرفته می‌شود. ازانجاه تحت شرایط نامساعد محیطی و تنش‌های مختلف غیر زیستی میزان تولید گونه‌های فعال و واکنش‌گر اکسیژن ROS افزایش می‌یابد، تولید آنتیاکسیدان‌ها و پرولین از سازوکارهای دفاعی گیاه یونجه در برابر تنش کمبود ریزمغذی آهن است.

قدرتانی

نویسنده‌گان مقاله از حوزه معاونت محترم پژوهشی و فناوری دانشگاه اراک جهت حمایت مالی و اجرایی این تحقیق تشکر و قدردانی می‌کنند.

در این مطالعه گیاهانی که هیچ نوع آهنی دریافت نکرده اند (شاهد) بیشترین میزان توانایی مهار رادیکال آزاد DPPH و بیشترین فعالیت آنزیم‌های آنتیاکسیدان‌های سوپراکسید دیسموتاز، گایاکول پراکسیداز و کاتالاز را نشان دادند. در حضور آهن توانایی مهار رادیکال آزاد و فعالیت آنتیاکسیدان‌ها نسبت به شاهد کاهش معنی‌داری پیدا کرد. در گیاهان تحت غلظت‌های مختلف نانوذرات اکسید آهن تغییر معنی‌داری در فعالیت آنتیاکسیدان نسبت به گیاهانی که کلات آهن دریافت کردند مشاهده نمی‌شود. غلظت فلزات نقش مهمی در تعادل آنزیم‌های آنتیاکسیدانی دارد. غلظت بالای فلزات باعث تجمع رادیکال‌های آزاد می‌شود که باعث آسیب به غشا می‌شود (Yadav, 2010). آنتیاکسیدان‌ها متabolیت‌های ثانویه هستند که در شرایط نامساعد مانند محدودیت عناصر مغذی تولید می‌شوند (Rose et al., 2015). ترکیبات نانو آهن به علت کوچک بودن و حلالیت بالا به سرعت توسط گیاه جذب می‌شوند و کمبودهای مواد غذایی گیاهان را برطرف می‌کنند؛ بنابراین با کاربرد این مواد شرایط بهینه برای رشد گیاه ایجاد می‌شود و از ایجاد هرگونه تنفس در گیاه جلوگیری می‌شود (Mohamadipoor et al., 2013). نتایج مطالعه کود کلات آهن و نانو کود کلات آهن بر گیاه *Ocimum basilicum* نشان داد فعالیت آنزیم‌های آنتیاکسیدان از جمله کاتالاز در گیاهانی که تحت تیمار نانو کود آهن قرار گرفتند در مقایسه با شاهد و گیاهان تحت غلظت

منابع

- Abe, N., Murata, T., Hirota A., 1998. Novel 1,1-diphenyl-2-picrylhydrazyl radical scavengers, bisorbicillin and demethyltrichodimerol, from a fungus. Bioscience, Biotechnology and Biochemistry. 62, 661-662.
- Apel, K., Hirt, H., 2004. Reactive oxygen species: Metabolism, oxidative stress and signal transduction. Plant Biology. 55, 373-379.
- Armin, M., Akbari, S., Mashhadi, S., 2014. Effect of time and concentration of nano-Fe foliar application on yield components of wheat. International Journal of Biosciences. 4(9), 69-75.
- Arnon, D.I., 1949. Copper enzymes in isolated chloroplasts. Polyphenoloxidase in *Beta vulgaris*. Plant Physiology. 24, 1-15.
- Ashraf, M., Foolad, M.R., 2007. Roles of glycine betaine and proline in improving plant abiotic stress resistance. Environmental and Experimental Botany. 59, 206-216.
- Bakhtiari, M., Moaveni, P., Sani, B., 2015. The effect of iron nanoparticles spraying time and concentration on wheat. Biological Forum-An International Journal. 7(1), 679-683.
- Bates, L.S., Waldren, R.P., Teare, I. D., 1973. Rapid determination of free proline for water stress studies. Plant and Soil. 29, 205-207.
- Briat, J. F., Dubos, C., Gaymard, F., 2015. Iron nutrition, biomass production, and plant

- product quality. Trends in Plant Science. 20(1), 33-40.
- Bybordi, A., 2012. Study effect of salinity on some physiologic and morphologic properties of two grape cultivars. Life Science Journal. 9(4), 1092-1101.
- Cakmak, I., Marschner, H., 1992. Magnesium deficiency and high light intensity enhance activities of superoxide dismutase, ascorbate peroxidase, and glutathione reductase in bean leaves. Plant Physiology. 98, 1222-1227.
- Chinnamuthu, C.R., Boopathi, M.P., 2009. Nanotechnology and agroecosystem. Plant Nutrition and Soil Science. 168, 558-573.
- Delic, D., Stajkovic-Srbinovic, O., Radovic, J., Kuzmanovic, D., Rasulic, N., Simic, A., Knezevic-Vukcevic, N., 2013. Difference in symbiotic N₂ fixation alfalfa, *Medicago sativa* L. cultivars and *Sinorhizobium* spp. strains in field conditions. Romanian Biotechnological Letters. 18(6), 8743-8750.
- Dokhe, S. A., Mahajan. P., Kamble, R., Khanna, A., 2013. Effect of nanoparticles suspension on the growth of mung (*Vigna radiata*) seedlings by foliar spray method. Nanotechnology Development. 3(1), 1-5.
- Foyer, C.H., Noctor, G., 2005. Redox homeostats and antioxidant signaling: a metabolic interface between stress perception and physiological responses. Plant Cell. 17, 1866-1875.
- Hoagland, D.R., Arnon, D.I., 1950. The water-culture method for growing plants without soil. California Agricultural Experiment Station Circular. 347, 1-32.
- Gohari, A., Niyaki, A.N., 2010. Effect of iron and nitrogen fertilizers on yield and yield components of peanut (*Arachis hypogaea* L.) in Astaneh Ashrafiyeh, Iran. American-Eurasian Journal Agriculture and Environmental Science. 9(3), 256-262.
- Giannopolitis, C.N., Ries, S.K., 1997. Superoxide dismutases: I. occurrence in higher plants. Plant Physiology. 59, 309-314.
- Kosova'a, K., Vita'mv'sa, P., Pra'sila, I.T., Renautb, J., 2011. Plant proteome changes under abiotic stress-contribution of proteomics studies to understanding plant stress response. Proteomics. 74(8), 1301-1322.
- Lichtenthaler, H.K., Wellburn, A.R., 1983. Determinations of total carotenoids and chlorophylls *a* and *b* of leaf extract in different solvents. Biochemical Society Transactions. 11, 591-592.
- Mazaherinia, M.A., Astaraei, R., Fotovat, A., Monshi, A., 2010. Effect of Nano iron oxide particles and on Fe, Mn, Zn, Cu concentrations in wheat plants. World Applied Science. 7(1), 156-162.
- Mazlomi-Mamyandi, M. Pirzad, A. Zardoshti, M.R., 2012. Effect of Nano-iron spraying at varying growth stage of sugar beet (*Beta vulgaris* L.) on the size of different plant parts. International Journal of Agriculture and Crop Sciences. 4 (12), 740-745.
- Mirza Masoumzadeh, B., Imani, A.A., Khayamaim, S., 2012. Salinity stress effect on proline and chlorophyll rate in four beet cultivars. Scholars Research Library. 3(12), 5453-5456.
- Mohamadipoor, R., Sedaghathoor, S., Mahboub-Khomami, A., 2013. Effect of application of iron fertilizer in two methods foliar and soil application on growth characteristics of *Spathiphyllum illusion*. European Journal of Experimental Biology. 3(1), 232-240.
- Naderi, M.R., Abedi, A., 2012. Application of nanotechnology in agriculture and refinement of environmental pollutants. Journal of Nanotecnology. 11(1), 18-26.
- Peyvandi, M., Parande, H., Mirza, M., 2011. Comparison of nano Fe chelate with Fe chelate effect on growth parameters and antioxidant enzymes activity of *Ocimum basilicum*. New Cellular and Molecular Biotechnology Journal. 4, 89-99. [In Persian with English Summary].
- Pii, Y., Penn, A., Terzano, R., Crecchio, C., Mimmo, T., Cesco, S., 2015. Plant-microorganism-soil interactions influence the Fe availability in the rhizosphere of cucumber plants. Plant Physiology and Biochemistry. 87, 45-52.
- Polle, A., Otter, T., Seifert, F., 1994. Apoplastic peroxidases and lignification in needles of Norway spruce (*Picea abies* L.). Plant Physiology. 106, 53-56.
- Prasad, T.N.V., Sreeprasad, T.S., Sajanlal, P.R., Pradeep, T., 2012. Effect of nanoscales zinc oxide on the germination, growth and yield of peanut. Journal of Plant Nutrition. 35, 905-927.

- Ranjbar, M. Shams, G.A., 2009. Study of nanotechnology applications. *Sabz Zist*. 3, 28-34. [In Persian].
- Roosta, H. R., Jalali, M., Vakili Shahrbabaki, M. A., 2015. Effect of nano-chelate, Fe-Eddha and FeSO₄ on vegetative growth, physiological parameters and some nutrient elements concentration of four varieties of lettuce (*Lactuca sativa* L) in NFT system. *Journal of Plant Nutrition*. 38(14), 2176-2184.
- Rose, H., Benzon, L., Rosnah, M., Rubenecia, U., Ultra, V., Lee, S.C., 2015. Nano-fertilizer affects the growth, development and chemical properties of rice. *International Journal of Agronomy and Agricultural Research*. 7(1), 105-117.
- Rout, G.R., Das, A.B., Sahoo, S., 2014. Screening of iron toxicity in rice genotypes on the basis of morphological, physiological and biochemical analysis. *Journal of Experimental Biology Agricultural Science*. 2, 567-582.
- Sajedi, N., Ardakani, M.R., 2008. Effect of different levels of nitrogen, iron and zinc on physiological indices and forage yield of maize (*Zea mays* L.) in Markazi province. *Iranian Journal of Field Crops Research*. 6(1), 99-110. [In Persian with English Summary].
- Tan, J., Zhao, H., Hoang, J., Han, Y., Li, H., Zhao, W., 2008. Effects of exogenous nitric oxide on photosynthesis, antioxidant capacity and proline accumulation in wheat seedlings subjected to osmotic stress. *Agricultural Sciences*. 4, 307-313.
- Wang, Y.X., Oyaizu, H., 2009. Evaluation of the phytoremediation potential of four plant species for dibenzofuran-contaminated soil. *Journal of Hazardous Materials*, 168, 760-764.
- Vasconsuelo, A., Boland, R., 2007. Molecular aspects of the early stages of elicitation of secondary metabolites in plants. *Plant Science*. 172, 861-875.
- Vendruscolo, E.C.G., Schuster, I., Pilegg, M., Scapim, C.A., Molinari, H.B.C., Marur, C.J., Vieira, L.G.E., 2007. Stress-induced synthesis of proline confers tolerance to water deficit in transgenic wheat. *Journal of Plant Physiology*. 164(10), 1367-1376.
- Vigani, G., 2012. Does a similar metabolic reprogramming occur in Fe-deficient plant cell and animal tumor cells? *Frontiers in Plant Science*. 3, 47-51.
- Yadav, S.K., 2010. Heavy metals toxicity in plants: An overview on the role of glutathione and phytochelatins in heavy metal stress tolerance of plants. *South Africa Journal Botany*. 76, 169-179.